

Eingabe: Farbmétrisches Reflexions-System MRS18

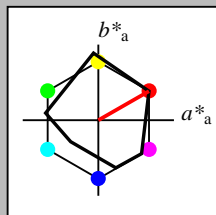
für Buntton $h^* = lab^*h = 30/360 = 0.083$

lab^*tch und lab^*nch

D65: Buntton R

LCH*Ma: 50 77 30

rgb*Ma: 1.0 0.0 0.0



MRS18; adaptierte CIELAB-Daten					
	$L^*=L^*_a$	a^*_a	b^*_a	$C^*_{ab,a}$	$h^*_{ab,a}$
RMa	49.63	66.96	38.37	77.18	30
JMa	90.7	-6.36	88.75	88.98	94
GMa	52.11	-69.73	9.44	70.37	172
G50BMa	45.03	-36.57	-28.47	46.36	218
BMa	36.65	23.19	-63.05	67.18	290
B50RMa	34.94	57.17	-44.26	72.31	322
NMa	18.01	0.0	0.0	0.0	0
WMa	95.41	0.0	0.0	0.0	0
RCIE	39.92	58.66	26.98	64.56	25
JCIE	81.26	-2.17	67.76	67.79	92
GCIE	52.23	-42.26	11.75	43.87	164
BCIE	30.57	1.15	-46.84	46.87	271

Dreiecks-Helligkeit t^*

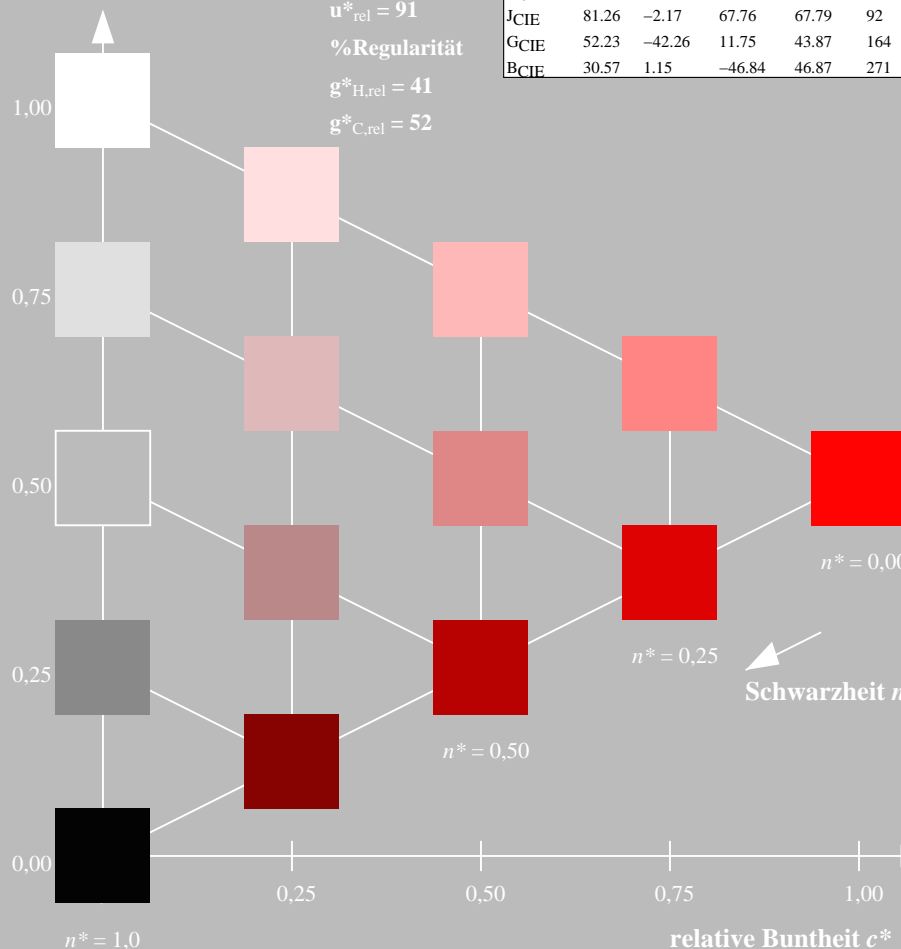
%Umfang

$u^*_{rel} = 91$

%Regularität

$g^*_{H,rel} = 41$

$g^*_{C,rel} = 52$



TG230-7, 5 stufige Reihen für konstanten CIELAB Buntton 30/360 = 0.083 (links)

Ausgabe: Farbmétrisches Reflexions-System NCS11

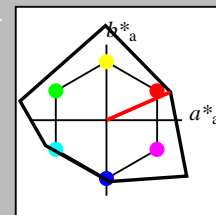
für Buntton $h^* = lab^*h = 24/360 = 0.066$

LAB^*LCH , LAB^*NCH

D65: Buntton R

LCH*Ma: 47 92 24

rgb*Ma: 1.0 0.0 0.0



NCS11; adaptierte CIELAB-Daten					
	$L^*=L^*_a$	a^*_a	b^*_a	$C^*_{ab,a}$	$h^*_{ab,a}$
RMa	47.15	84.64	37.25	92.48	24
JMa	91.37	-1.27	125.03	125.03	91
GMa	63.07	-114.28	25.35	117.06	167
G50BMa	59.47	-80.6	-33.45	87.28	203
BMa	49.01	3.65	-81.19	81.28	273
B50RMa	44.06	106.09	-73.93	129.32	325
NMa	10.99	0.0	0.0	0.0	0
WMa	95.41	0.0	0.0	0.0	0
RCIE	39.92	58.69	27.98	65.01	25
JCIE	81.26	-2.9	71.56	71.62	92
GCIE	52.23	-42.45	13.59	44.59	162
BCIE	30.57	1.35	-46.48	46.51	272

CIELAB-Helligkeit L^*

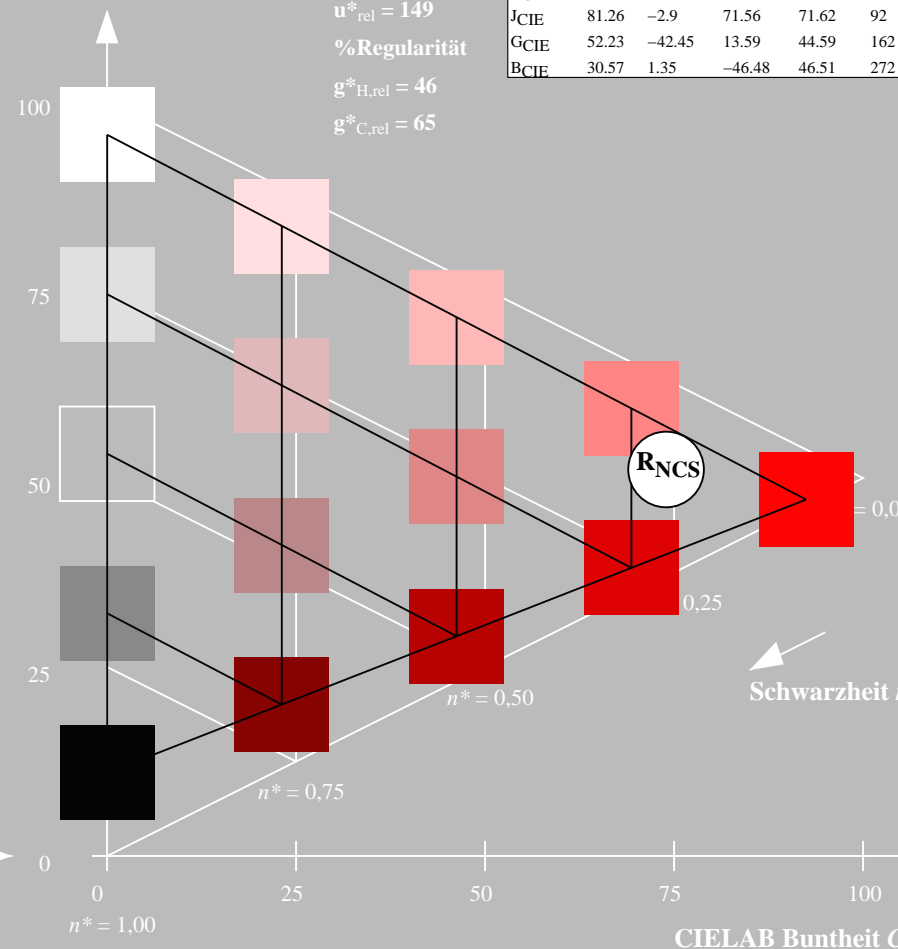
%Umfang

$u^*_{rel} = 149$

%Regularität

$g^*_{H,rel} = 46$

$g^*_{C,rel} = 65$



5 stufige Reihen für konstanten CIELAB Buntton 24/360 = 0.066 (rechts)

BAM-Prüfvorlage TG23; Farbmétrik-Systeme MRS18 & NCS11

D65: Koordinaten-Systeme von 5stufigen Farbreihen für 10 Bunttonen

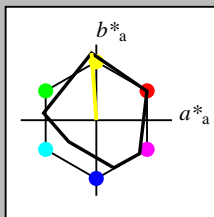
input: $olv^*setrgbcolor$

input: $olv^*setrgbcolor / w^*setgray$

Eingabe: Farbmétrisches Reflexions-System MRS18

für Buntton $h^* = lab \cdot h = 94/360 = 0.261$
 $lab \cdot tch$ und $lab \cdot nch$

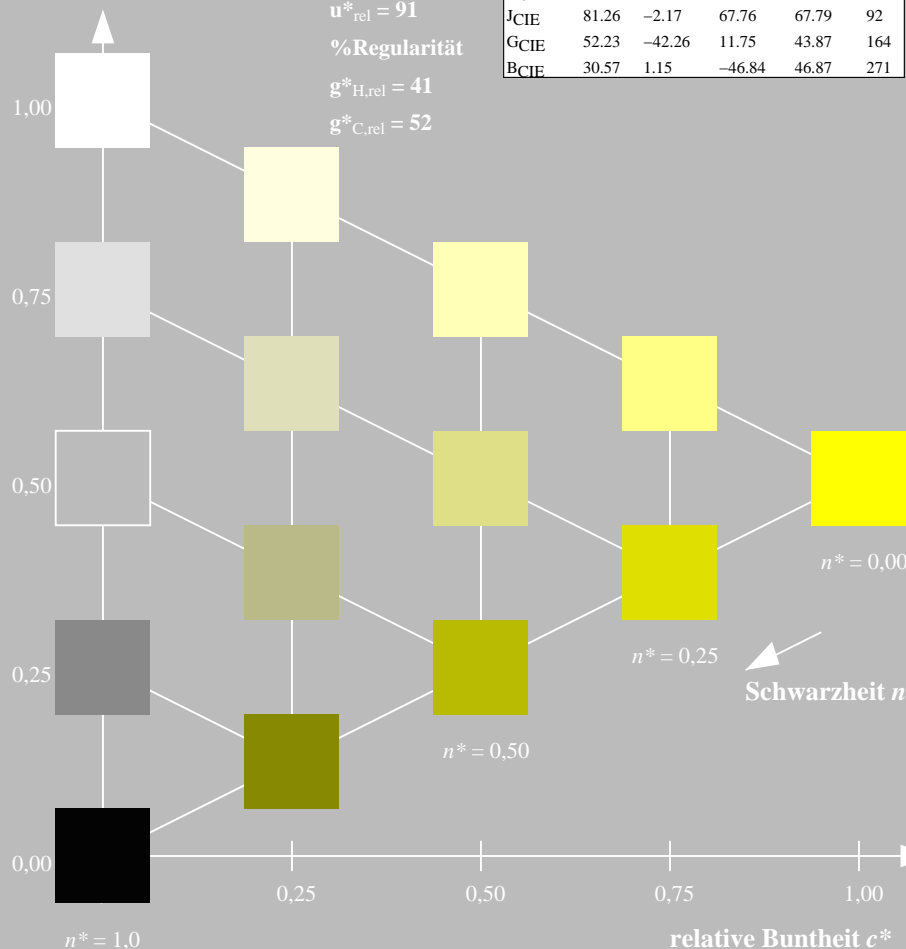
D65: Buntton J
LCH*Ma: 91 89 94
rgb*Ma: 1.0 1.0 0.0



MRS18; adaptierte CIELAB-Daten					
	$L^*=L^*_a$	a^*_a	b^*_a	$C^*_{ab,a}$	$h^*_{ab,a}$
RMa	49.63	66.96	38.37	77.18	30
JMa	90.7	-6.36	88.75	88.98	94
GMa	52.11	-69.73	9.44	70.37	172
G50BMa	45.03	-36.57	-28.47	46.36	218
BMa	36.65	23.19	-63.05	67.18	290
B50RMa	34.94	57.17	-44.26	72.31	322
NMa	18.01	0.0	0.0	0.0	0
WMa	95.41	0.0	0.0	0.0	0
RCIE	39.92	58.66	26.98	64.56	25
JCIE	81.26	-2.17	67.76	67.79	92
GCIE	52.23	-42.26	11.75	43.87	164
BCIE	30.57	1.15	-46.84	46.87	271

Dreiecks-Helligkeit t^*

%Umfang
 $u^*_{rel} = 91$
%Regularität
 $g^*_{H,rel} = 41$
 $g^*_{C,rel} = 52$

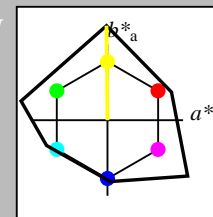


TG230-7, 5 stufige Reihen für konstanten CIELAB Buntton $94/360 = 0.261$ (links)

Ausgabe: Farbmétrisches Reflexions-System NCS11

für Buntton $h^* = lab \cdot h = 91/360 = 0.252$
 $LAB \cdot LCH$, $LAB \cdot NCH$

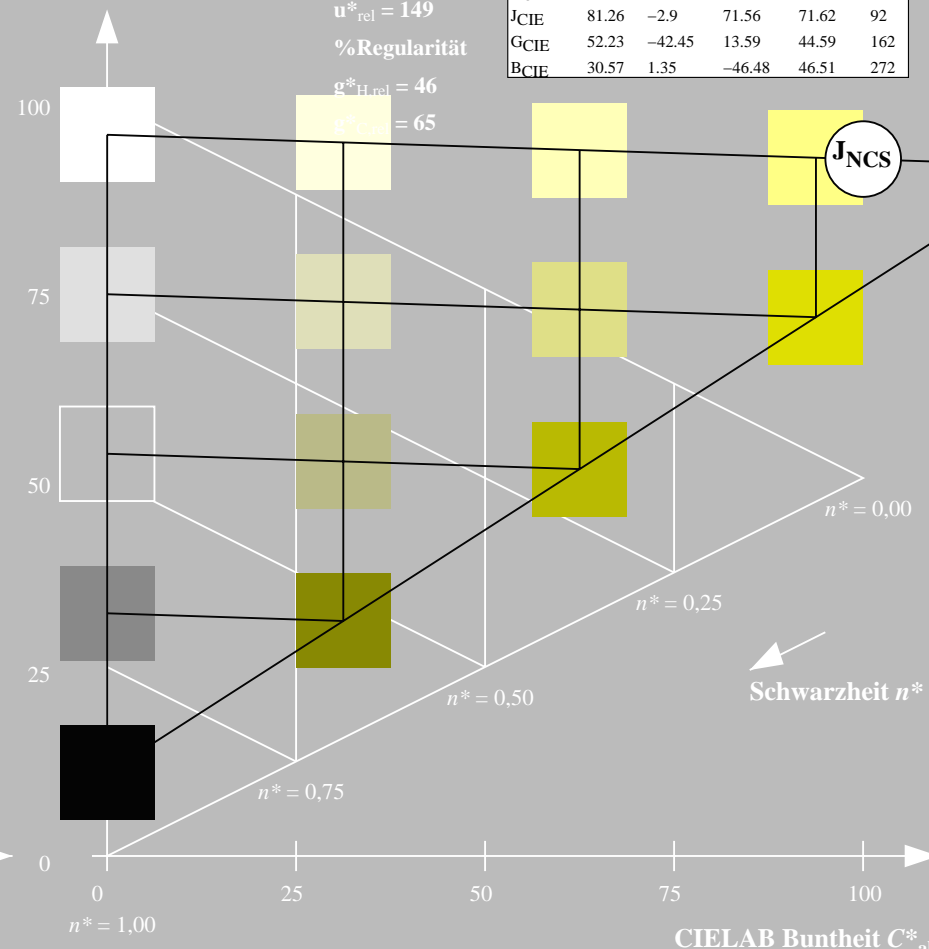
D65: Buntton J
LCH*Ma: 91 125 91
rgb*Ma: 1.0 1.0 0.0



NCS11; adaptierte CIELAB-Daten					
	$L^*=L^*_a$	a^*_a	b^*_a	$C^*_{ab,a}$	$h^*_{ab,a}$
RMa	47.15	84.64	37.25	92.48	24
JMa	91.37	-1.27	125.03	125.03	91
GMa	63.07	-114.28	25.35	117.06	167
G50BMa	59.47	-80.6	-33.45	87.28	203
BMa	49.01	3.65	-81.19	81.28	273
B50RMa	44.06	106.09	-73.93	129.32	325
NMa	10.99	0.0	0.0	0.0	0
WMa	95.41	0.0	0.0	0.0	0
RCIE	39.92	58.69	27.98	65.01	25
JCIE	81.26	-2.9	71.56	71.62	92
GCIE	52.23	-42.45	13.59	44.59	162
BCIE	30.57	1.35	-46.48	46.51	272

CIELAB-Helligkeit L^*

%Umfang
 $u^*_{rel} = 149$
%Regularität
 $g^*_{H,rel} = 46$
 $g^*_{C,rel} = 65$



5 stufige Reihen für konstanten CIELAB Buntton $91/360 = 0.252$ (rechts)

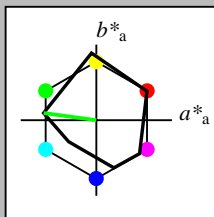
BAM-Prüfvorlage TG23; Farbmétrik-Systeme MRS18 & NCS11input: $olv^* \cdot setrgbcolor$

D65: Koordinaten-Systeme von 5stufigen Farbreihen für 10 Bunttoninput: $olv^* \cdot setrgbcolor / w^* \cdot setgray$

Eingabe: Farbmimetrisches Reflexions-System MRS18

für Buntton $h^* = lab \cdot h = 172/360 = 0.479$
 $lab \cdot tch$ und $lab \cdot nch$

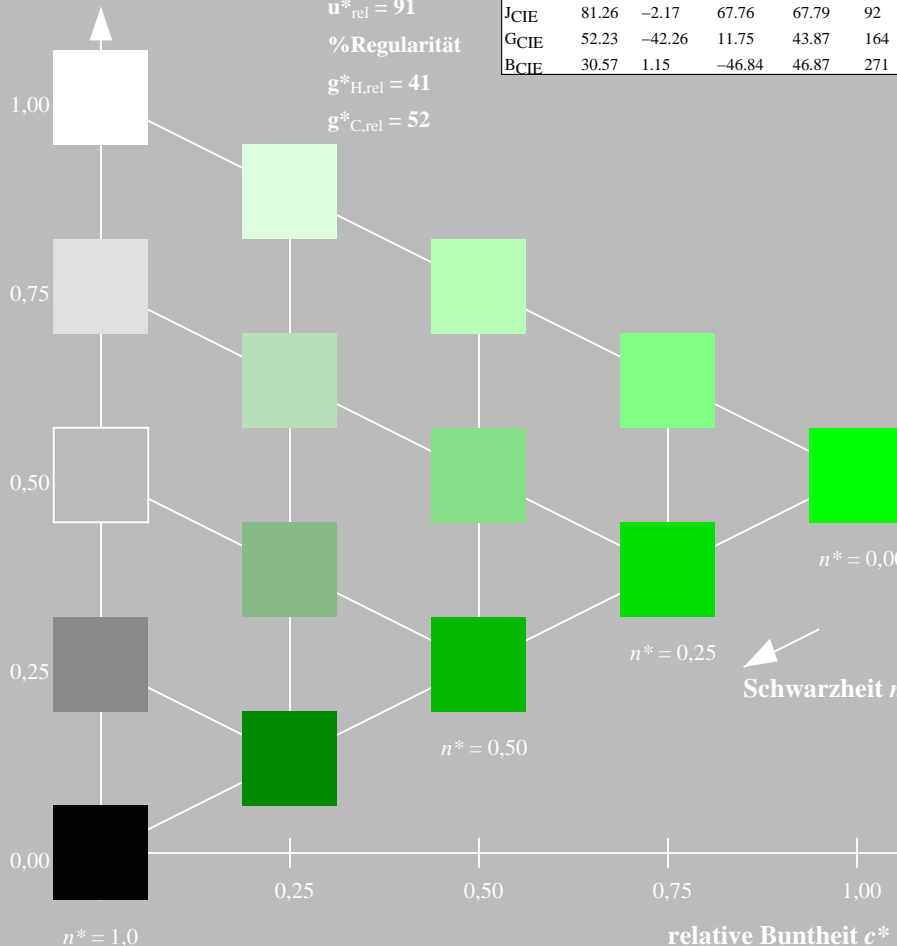
D65: Buntton G
LCH*Ma: 52 70 172
rgb*Ma: 0.0 1.0 0.0



MRS18; adaptierte CIELAB-Daten					
	$L^*=L^*_a$	a^*_a	b^*_a	$C^*_{ab,a}$	$h^*_{ab,a}$
RMa	49.63	66.96	38.37	77.18	30
JMa	90.7	-6.36	88.75	88.98	94
GMa	52.11	-69.73	9.44	70.37	172
G50BMa	45.03	-36.57	-28.47	46.36	218
BMa	36.65	23.19	-63.05	67.18	290
B50RMa	34.94	57.17	-44.26	72.31	322
NMa	18.01	0.0	0.0	0.0	0
WMa	95.41	0.0	0.0	0.0	0
RCIE	39.92	58.66	26.98	64.56	25
JCIE	81.26	-2.17	67.76	67.79	92
GCIE	52.23	-42.26	11.75	43.87	164
BCIE	30.57	1.15	-46.84	46.87	271

Dreiecks-Helligkeit t^*

%Umfang
 $u^*_{rel} = 91$
%Regularität
 $g^*_{H,rel} = 41$
 $g^*_{C,rel} = 52$

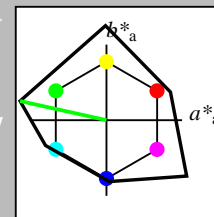


TG230-7, 5 stufige Reihen für konstanten CIELAB Buntton 172/360 = 0.479 (links)

Ausgabe: Farbmimetrisches Reflexions-System NCS11

für Buntton $h^* = lab \cdot h = 167/360 = 0.465$
 $LAB \cdot LCH$, $LAB \cdot NCH$

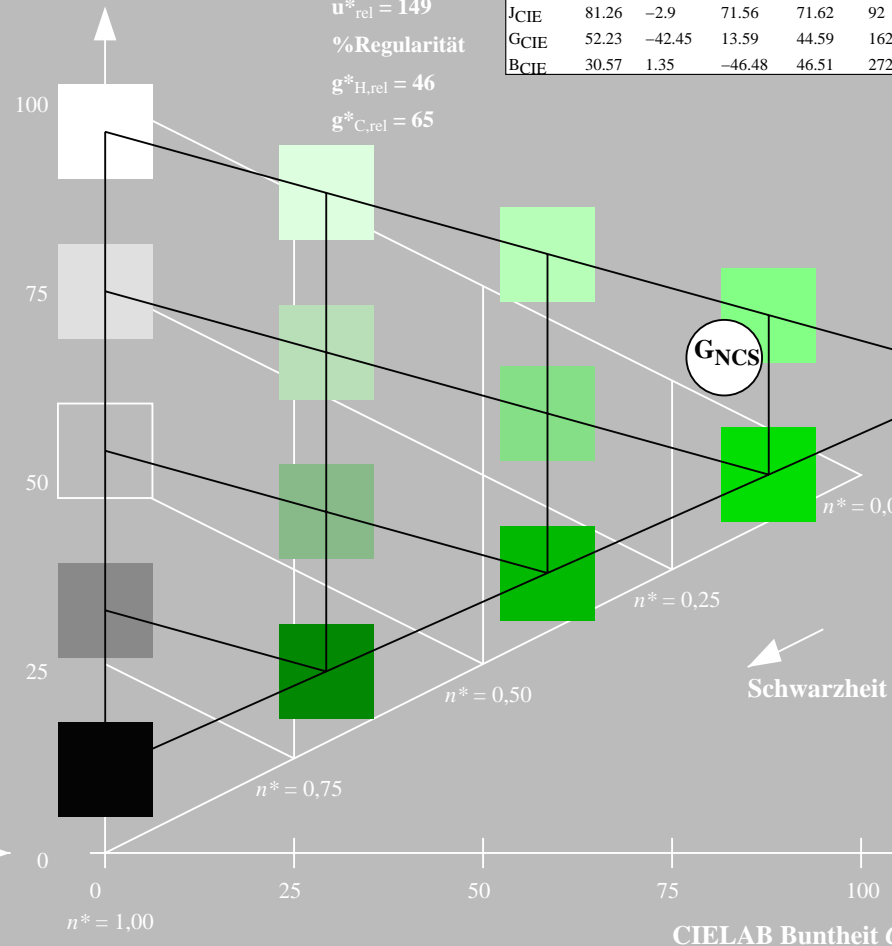
D65: Buntton G
LCH*Ma: 63 117 167
rgb*Ma: 0.0 1.0 0.0



NCS11; adaptierte CIELAB-Daten					
	$L^*=L^*_a$	a^*_a	b^*_a	$C^*_{ab,a}$	$h^*_{ab,a}$
RMa	47.15	84.64	37.25	92.48	24
JMa	91.37	-1.27	125.03	125.03	91
GMa	63.07	-114.28	25.35	117.06	167
G50BMa	59.47	-80.6	-33.45	87.28	203
BMa	49.01	3.65	-81.19	81.28	273
B50RMa	44.06	106.09	-73.93	129.32	325
NMa	10.99	0.0	0.0	0.0	0
WMa	95.41	0.0	0.0	0.0	0
RCIE	39.92	58.69	27.98	65.01	25
JCIE	81.26	-2.9	71.56	71.62	92
GCIE	52.23	-42.45	13.59	44.59	162
BCIE	30.57	1.35	-46.48	46.51	272

CIELAB-Helligkeit L^*

%Umfang
 $u^*_{rel} = 149$
%Regularität
 $g^*_{H,rel} = 46$
 $g^*_{C,rel} = 65$

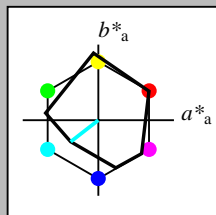


5 stufige Reihen für konstanten CIELAB Buntton 167/360 = 0.465 (rechts)

Eingabe: Farbmimetrisches Reflexions-System MRS18

für Buntton $h^* = lab^*h = 218/360 = 0.605$
 lab^*tch und lab^*nch

D65: Buntton G50B
LCH*Ma: 45 46 218
rgb*Ma: 0.0 1.0 1.0



MRS18; adaptierte CIELAB-Daten					
	$L^*=L^*_a$	a^*_a	b^*_a	$C^*_{ab,a}$	$h^*_{ab,a}$
RMa	49.63	66.96	38.37	77.18	30
JMa	90.7	-6.36	88.75	88.98	94
GMa	52.11	-69.73	9.44	70.37	172
G50B _{Ma}	45.03	-36.57	-28.47	46.36	218
B _{Ma}	36.65	23.19	-63.05	67.18	290
B50R _{Ma}	34.94	57.17	-44.26	72.31	322
N _{Ma}	18.01	0.0	0.0	0.0	0
W _{Ma}	95.41	0.0	0.0	0.0	0
RCIE	39.92	58.66	26.98	64.56	25
JCIE	81.26	-2.17	67.76	67.79	92
GCIE	52.23	-42.26	11.75	43.87	164
BCIE	30.57	1.15	-46.84	46.87	271

Dreiecks-Helligkeit t^*

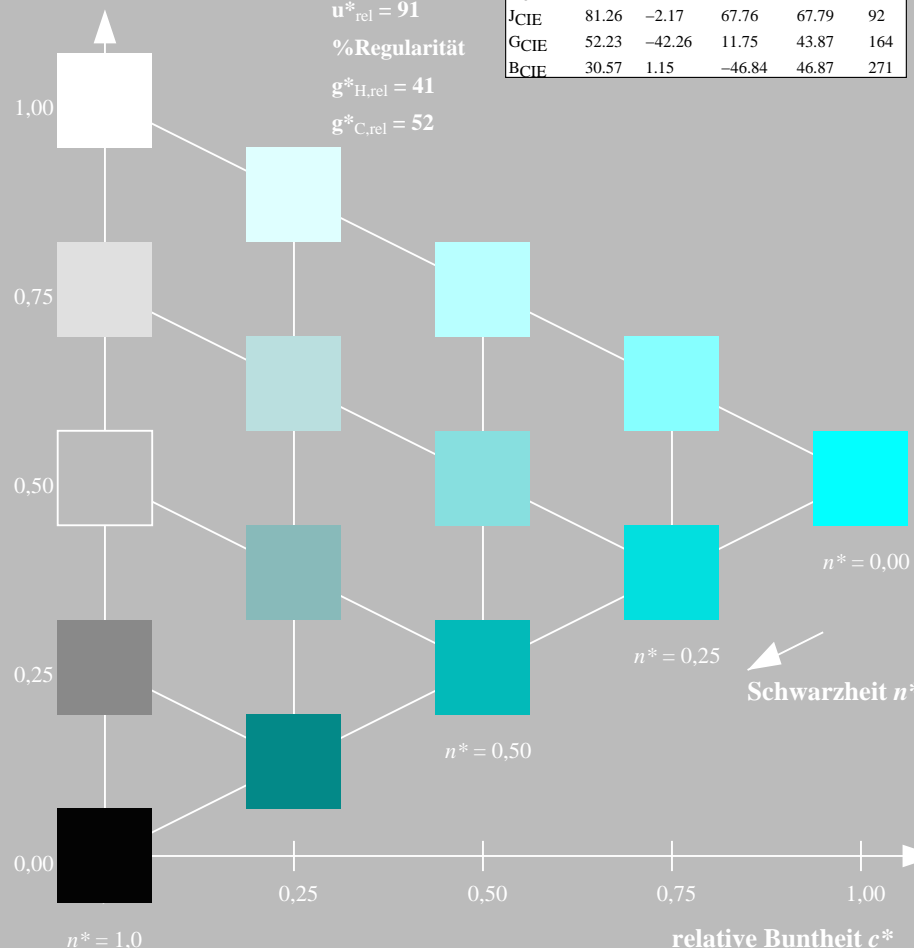
%Umfang

$u^*_{rel} = 91$

%Regularität

$g^*_{H,rel} = 41$

$g^*_{C,rel} = 52$



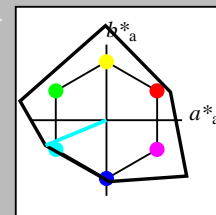
TG230-7, 5 stufige Reihen für konstanten CIELAB Buntton 218/360 = 0.605 (links)

BAM-Prüfvorlage TG23; Farbmimetrische Systeme MRS18 & NCS11
D65: Koordinaten-Systeme von 5stufigen Farbreihen für 10 Bunttonen

Ausgabe: Farbmimetrisches Reflexions-System NCS11

für Buntton $h^* = lab^*h = 203/360 = 0.563$
 LAB^*LCH , LAB^*NCH

D65: Buntton G50B
LCH*Ma: 59 87 203
rgb*Ma: 0.0 1.0 1.0



NCS11; adaptierte CIELAB-Daten					
	$L^*=L^*_a$	a^*_a	b^*_a	$C^*_{ab,a}$	$h^*_{ab,a}$
RMa	47.15	84.64	37.25	92.48	24
JMa	91.37	-1.27	125.03	125.03	91
GMa	63.07	-114.28	25.35	117.06	167
G50B _{Ma}	59.47	-80.6	-33.45	87.28	203
B _{Ma}	49.01	3.65	-81.19	81.28	273
B50R _{Ma}	44.06	106.09	-73.93	129.32	325
N _{Ma}	10.99	0.0	0.0	0.0	0
W _{Ma}	95.41	0.0	0.0	0.0	0
RCIE	39.92	58.69	27.98	65.01	25
JCIE	81.26	-2.9	71.56	71.62	92
GCIE	52.23	-42.45	13.59	44.59	162
BCIE	30.57	1.35	-46.48	46.51	272

CIELAB-Helligkeit L^*

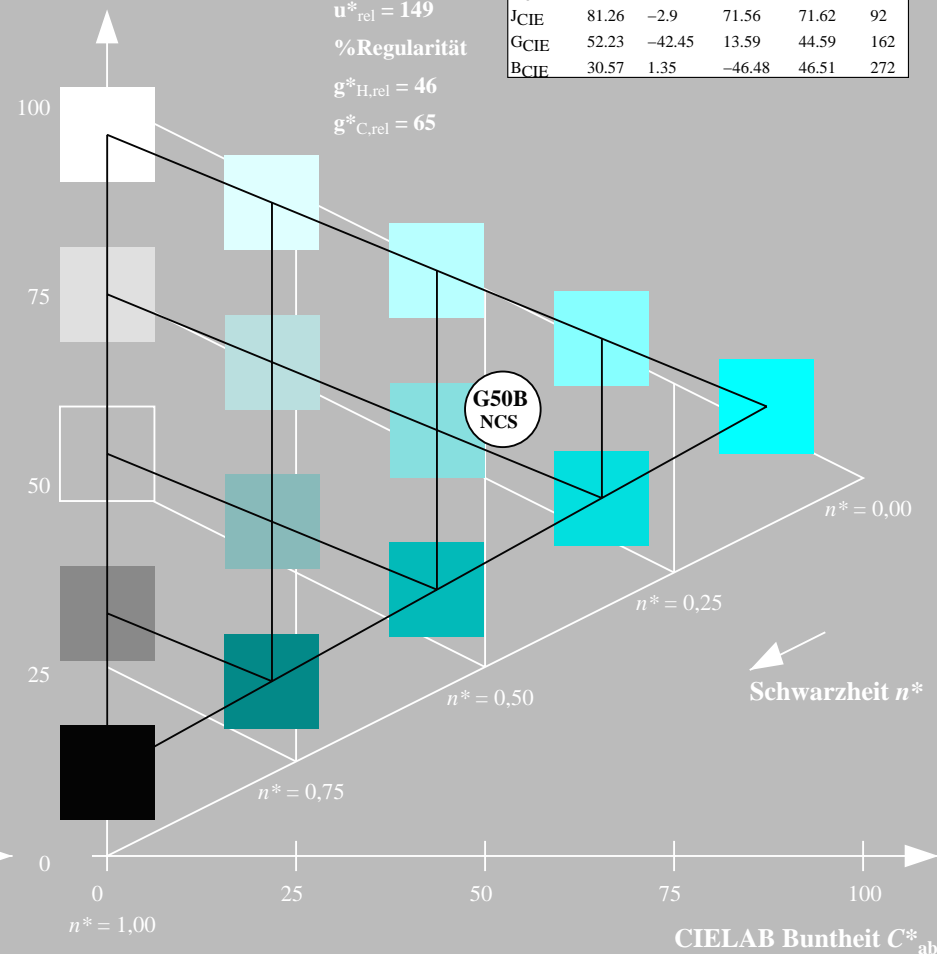
%Umfang

$u^*_{rel} = 149$

%Regularität

$g^*_{H,rel} = 46$

$g^*_{C,rel} = 65$



5 stufige Reihen für konstanten CIELAB Buntton 203/360 = 0.563 (rechts)

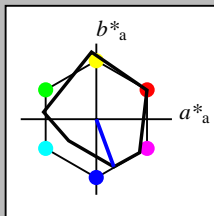
input: $olv^*setrgbcolor$

output: $olv^*setrgbcolor / w^*setgray$

Eingabe: Farbmimetrisches Reflexions-System MRS18

für Buntton $h^* = lab^*h = 290/360 = 0.806$
 lab^*tch und lab^*nch

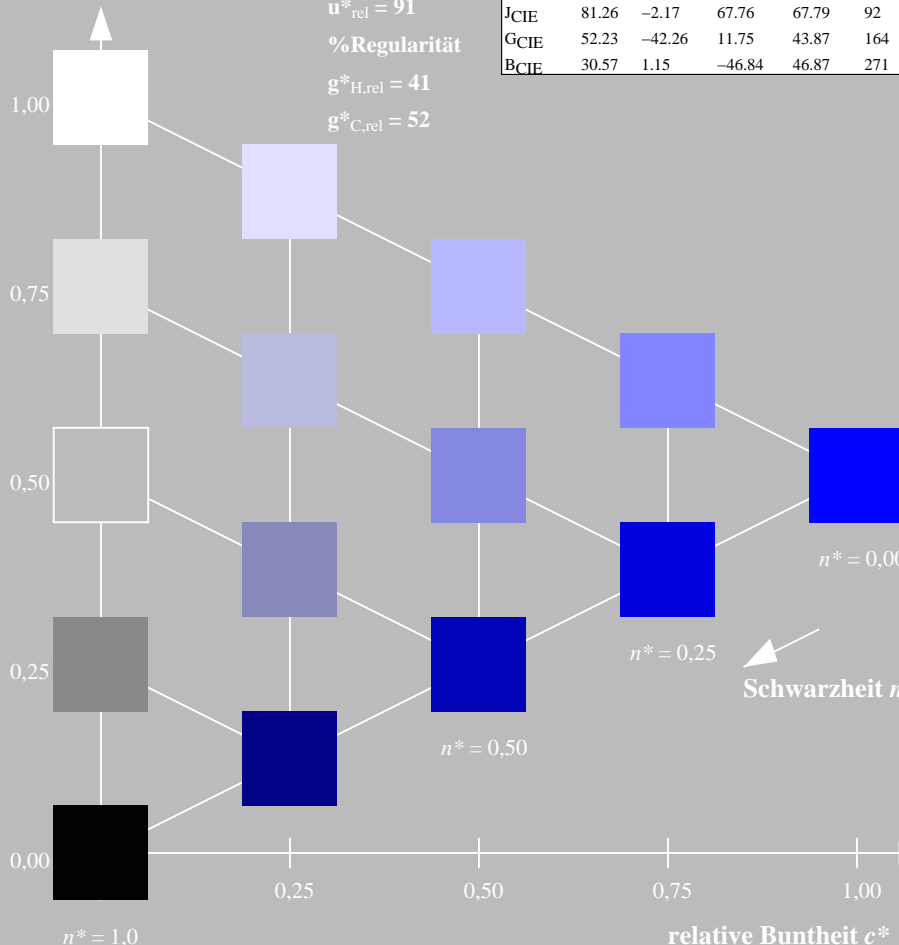
D65: Buntton B
LCH*Ma: 37 67 290
rgb*Ma: 0.0 0.0 1.0



MRS18; adaptierte CIELAB-Daten					
	$L^*=L^*_a$	a^*_a	b^*_a	$C^*_{ab,a}$	$h^*_{ab,a}$
RMa	49.63	66.96	38.37	77.18	30
JMa	90.7	-6.36	88.75	88.98	94
GMa	52.11	-69.73	9.44	70.37	172
G50BMa	45.03	-36.57	-28.47	46.36	218
BMa	36.65	23.19	-63.05	67.18	290
B50RMa	34.94	57.17	-44.26	72.31	322
NMa	18.01	0.0	0.0	0.0	0
WMa	95.41	0.0	0.0	0.0	0
RCIE	39.92	58.66	26.98	64.56	25
JCIE	81.26	-2.17	67.76	67.79	92
GCIE	52.23	-42.26	11.75	43.87	164
BCIE	30.57	1.15	-46.84	46.87	271

Dreiecks-Helligkeit t^*

%Umfang
 $u^*_{rel} = 91$
%Regularität
 $g^*_{H,rel} = 41$
 $g^*_{C,rel} = 52$

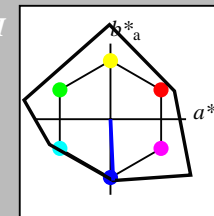


TG230-7, 5 stufige Reihen für konstanten CIELAB Buntton 290/360 = 0.806 (links)

Ausgabe: Farbmimetrisches Reflexions-System NCS11

für Buntton $h^* = lab^*h = 273/360 = 0.757$
 LAB^*LCH , LAB^*NCH

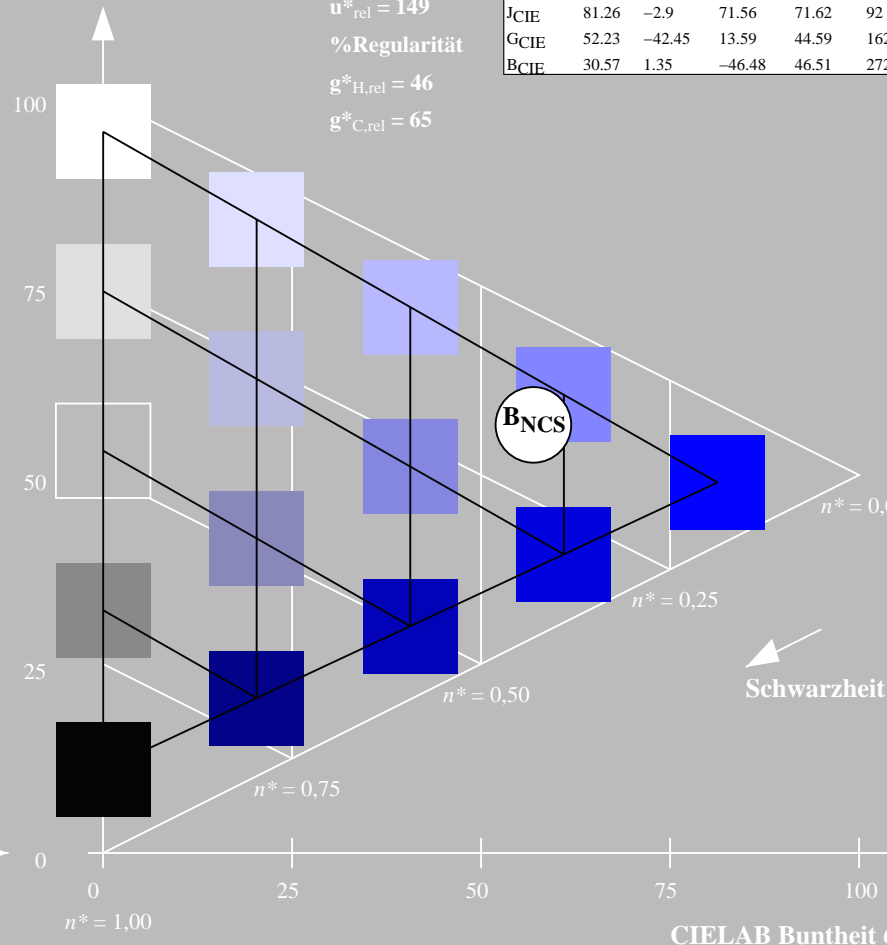
D65: Buntton B
LCH*Ma: 49 81 273
rgb*Ma: 0.0 0.0 1.0



NCS11; adaptierte CIELAB-Daten					
	$L^*=L^*_a$	a^*_a	b^*_a	$C^*_{ab,a}$	$h^*_{ab,a}$
RMa	47.15	84.64	37.25	92.48	24
JMa	91.37	-1.27	125.03	125.03	91
GMa	63.07	-114.28	25.35	117.06	167
G50BMa	59.47	-80.6	-33.45	87.28	203
BMa	49.01	3.65	-81.19	81.28	273
B50RMa	44.06	106.09	-73.93	129.32	325
NMa	10.99	0.0	0.0	0.0	0
WMa	95.41	0.0	0.0	0.0	0
RCIE	39.92	58.69	27.98	65.01	25
JCIE	81.26	-2.9	71.56	71.62	92
GCIE	52.23	-42.45	13.59	44.59	162
BCIE	30.57	1.35	-46.48	46.51	272

CIELAB-Helligkeit L^*

%Umfang
 $u^*_{rel} = 149$
%Regularität
 $g^*_{H,rel} = 46$
 $g^*_{C,rel} = 65$

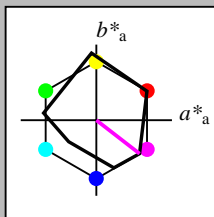


5 stufige Reihen für konstanten CIELAB Buntton 273/360 = 0.757 (rechts)

Eingabe: Farbmimetrisches Reflexions-System MRS18

für Buntton $h^* = lab^*h = 322/360 = 0.895$
 lab^*tch und lab^*nch

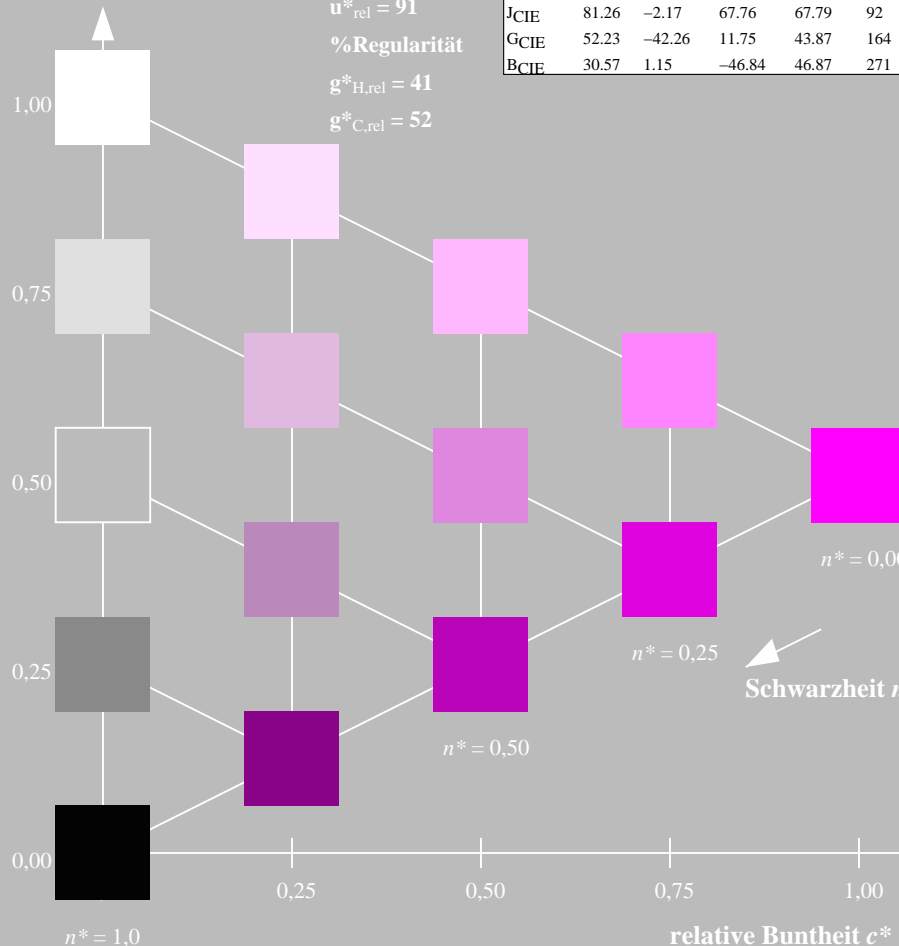
D65: Buntton B50R
LCH*Ma: 35 72 322
rgb*Ma: 1.0 0.0 1.0



MRS18; adaptierte CIELAB-Daten					
	$L^*=L^*_a$	a^*_a	b^*_a	$C^*_{ab,a}$	$h^*_{ab,a}$
RMa	49.63	66.96	38.37	77.18	30
JMa	90.7	-6.36	88.75	88.98	94
GMa	52.11	-69.73	9.44	70.37	172
G50BMa	45.03	-36.57	-28.47	46.36	218
BMa	36.65	23.19	-63.05	67.18	290
B50RMa	34.94	57.17	-44.26	72.31	322
NMa	18.01	0.0	0.0	0.0	0
WMa	95.41	0.0	0.0	0.0	0
RCIE	39.92	58.66	26.98	64.56	25
JCIE	81.26	-2.17	67.76	67.79	92
GCIE	52.23	-42.26	11.75	43.87	164
BCIE	30.57	1.15	-46.84	46.87	271

Dreiecks-Helligkeit t^*

%Umfang
 $u^*_{rel} = 91$
%Regularität
 $g^*_{H,rel} = 41$
 $g^*_{C,rel} = 52$

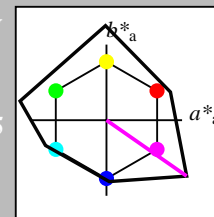


TG230-7, 5 stufige Reihen für konstanten CIELAB Buntton 322/360 = 0.895 (links)

Ausgabe: Farbmimetrisches Reflexions-System NCS11

für Buntton $h^* = lab^*h = 325/360 = 0.903$
 LAB^*LCH , LAB^*NCH

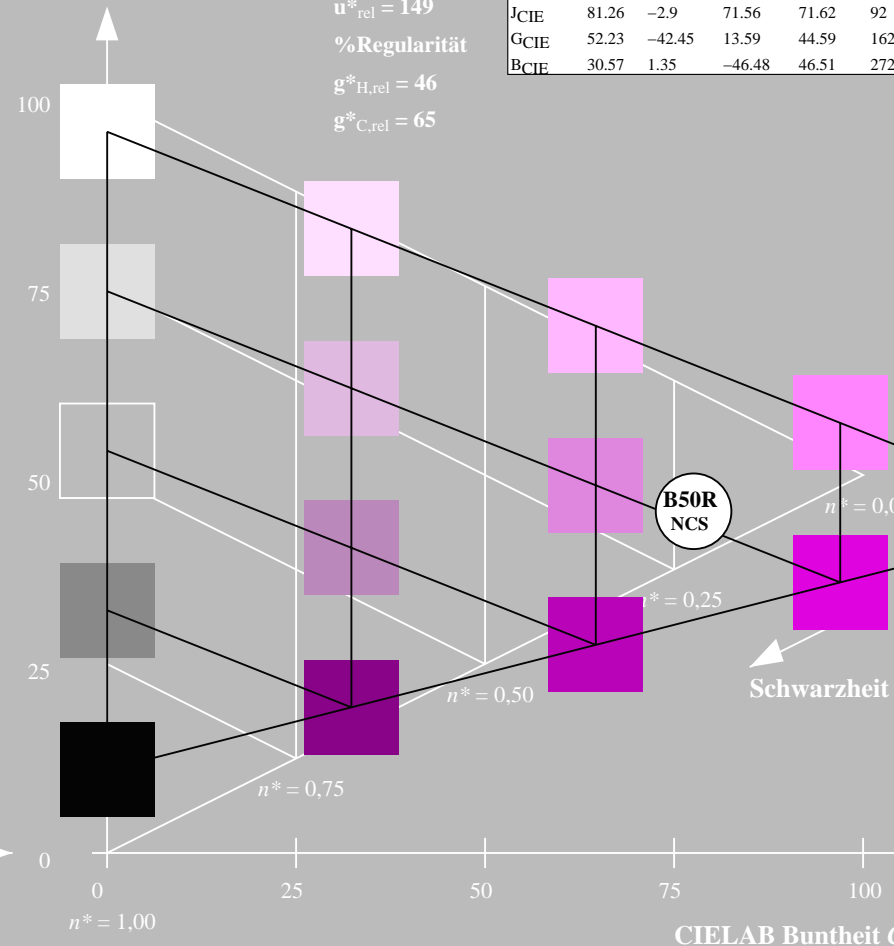
D65: Buntton B50R
LCH*Ma: 44 129 325
rgb*Ma: 1.0 0.0 1.0



NCS11; adaptierte CIELAB-Daten					
	$L^*=L^*_a$	a^*_a	b^*_a	$C^*_{ab,a}$	$h^*_{ab,a}$
RMa	47.15	84.64	37.25	92.48	24
JMa	91.37	-1.27	125.03	125.03	91
GMa	63.07	-114.28	25.35	117.06	167
G50BMa	59.47	-80.6	-33.45	87.28	203
BMa	49.01	3.65	-81.19	81.28	273
B50RMa	44.06	106.09	-73.93	129.32	325
NMa	10.99	0.0	0.0	0.0	0
WMa	95.41	0.0	0.0	0.0	0
RCIE	39.92	58.69	27.98	65.01	25
JCIE	81.26	-2.9	71.56	71.62	92
GCIE	52.23	-42.45	13.59	44.59	162
BCIE	30.57	1.35	-46.48	46.51	272

CIELAB-Helligkeit L^*

%Umfang
 $u^*_{rel} = 149$
%Regularität
 $g^*_{H,rel} = 46$
 $g^*_{C,rel} = 65$

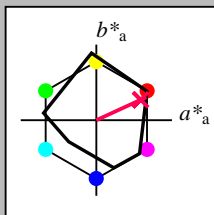


5 stufige Reihen für konstanten CIELAB Buntton 325/360 = 0.903 (rechts)

Eingabe: Farbmétrisches Reflexions-System MRS18

für Buntton $h^* = lab \cdot h = 25/360 = 0.069$
 $lab \cdot tch$ und $lab \cdot nch$

D65: Buntton R
LCH*Ma: 48 73 25
rgb*Ma: 1.0 0.0 0.1



MRS18; adaptierte CIELAB-Daten					
	$L^*=L^*_a$	a^*_a	b^*_a	$C^*_{ab,a}$	$h^*_{ab,a}$
RMa	49.63	66.96	38.37	77.18	30
JMa	90.7	-6.36	88.75	88.98	94
GMa	52.11	-69.73	9.44	70.37	172
G50BMa	45.03	-36.57	-28.47	46.36	218
BMa	36.65	23.19	-63.05	67.18	290
B50RMa	34.94	57.17	-44.26	72.31	322
NMa	18.01	0.0	0.0	0.0	0
WMa	95.41	0.0	0.0	0.0	0
RCIE	39.92	58.66	26.98	64.56	25
JCIE	81.26	-2.17	67.76	67.79	92
GCIE	52.23	-42.26	11.75	43.87	164
BCIE	30.57	1.15	-46.84	46.87	271

Dreiecks-Helligkeit t^*

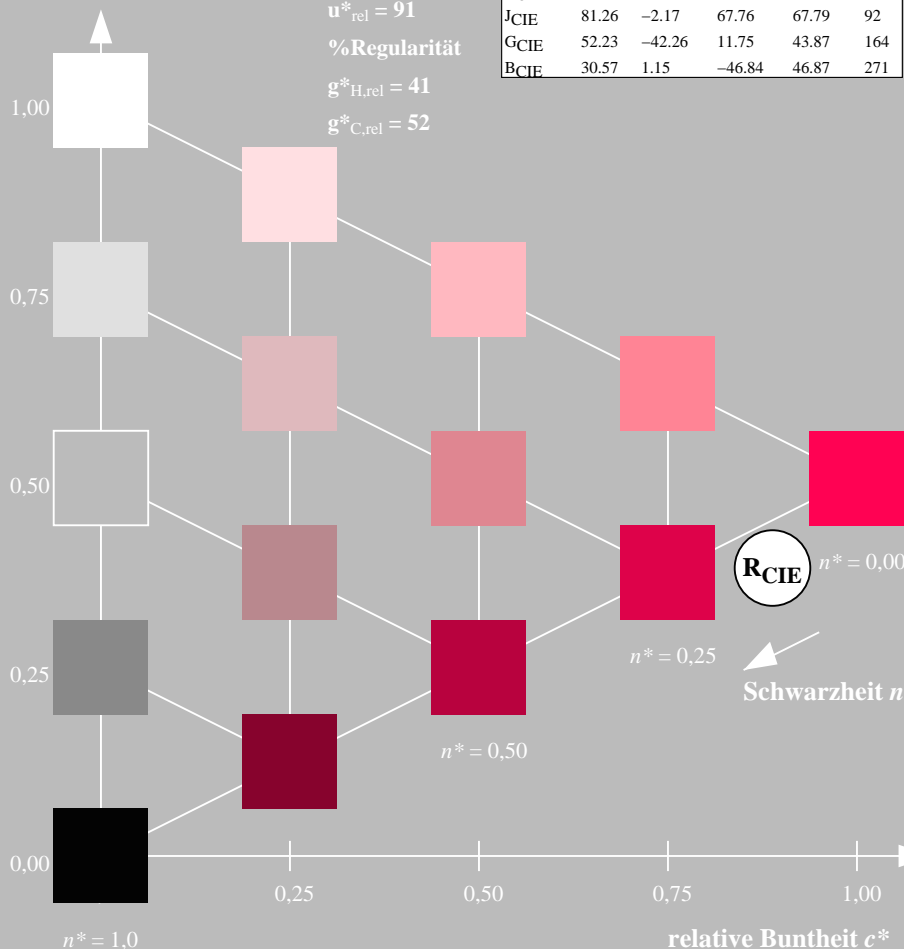
%Umfang

$u^*_{rel} = 91$

%Regularität

$g^*_{H,rel} = 41$

$g^*_{C,rel} = 52$

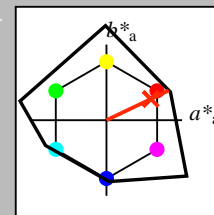


TG230-7, 5 stufige Reihen für konstanten CIELAB Buntton 25/360 = 0.069 (links)

Ausgabe: Farbmétrisches Reflexions-System NCS11

für Buntton $h^* = lab \cdot h = 25/360 = 0.071$
 $LAB \cdot LCH$, $LAB \cdot NCH$

D65: Buntton R
LCH*Ma: 48 91 25
rgb*Ma: 1.0 0.02 0.0



NCS11; adaptierte CIELAB-Daten					
	$L^*=L^*_a$	a^*_a	b^*_a	$C^*_{ab,a}$	$h^*_{ab,a}$
RMa	47.15	84.64	37.25	92.48	24
JMa	91.37	-1.27	125.03	125.03	91
GMa	63.07	-114.28	25.35	117.06	167
G50BMa	59.47	-80.6	-33.45	87.28	203
BMa	49.01	3.65	-81.19	81.28	273
B50RMa	44.06	106.09	-73.93	129.32	325
NMa	10.99	0.0	0.0	0.0	0
WMa	95.41	0.0	0.0	0.0	0
RCIE	39.92	58.69	27.98	65.01	25
JCIE	81.26	-2.9	71.56	71.62	92
GCIE	52.23	-42.45	13.59	44.59	162
BCIE	30.57	1.35	-46.48	46.51	272

CIELAB-Helligkeit L^*

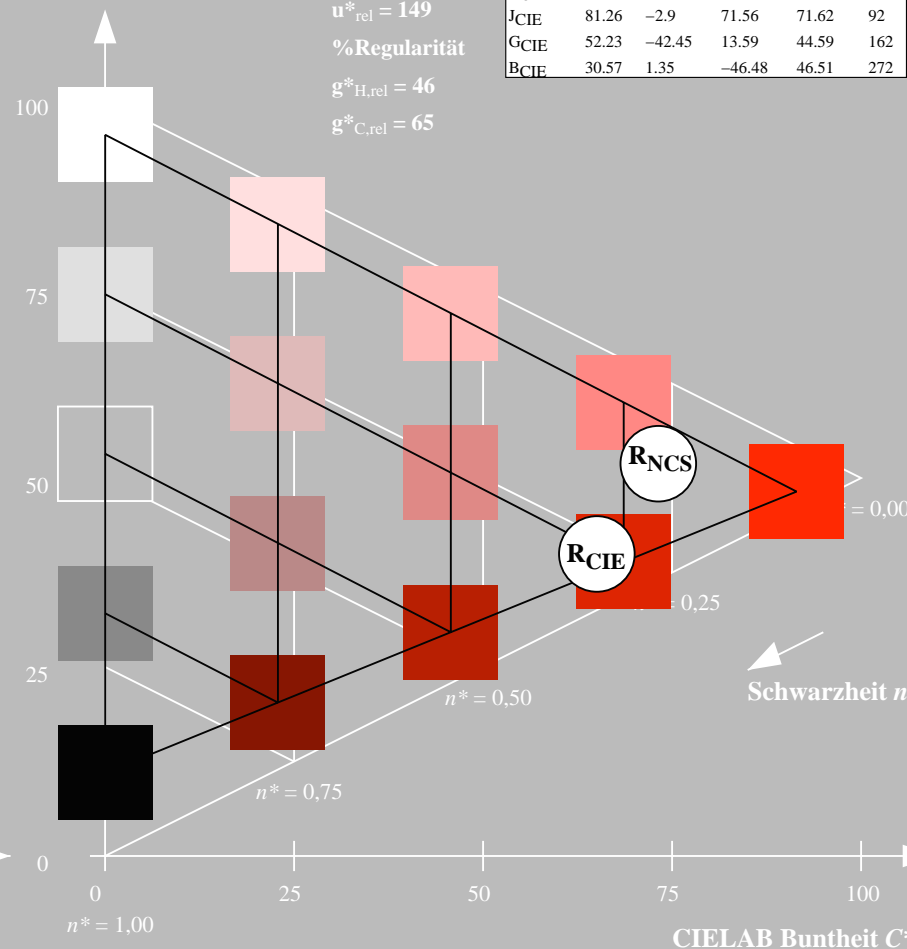
%Umfang

$u^*_{rel} = 149$

%Regularität

$g^*_{H,rel} = 46$

$g^*_{C,rel} = 65$



5 stufige Reihen für konstanten CIELAB Buntton 25/360 = 0.071 (rechts)

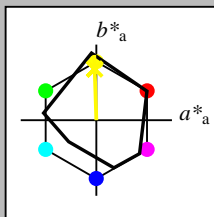
BAM-Prüfvorlage TG23; Farbmétrik-Systeme MRS18 & NCS11

D65: Koordinaten-Systeme von 5stufigen Farbreihen für 10 Bunttonen
input: olv* setrgbcolor / w* setgray

Eingabe: Farbmimetrisches Reflexions-System MRS18

für Buntton $h^* = lab^*h = 92/360 = 0.255$
 lab^*tch und lab^*nch

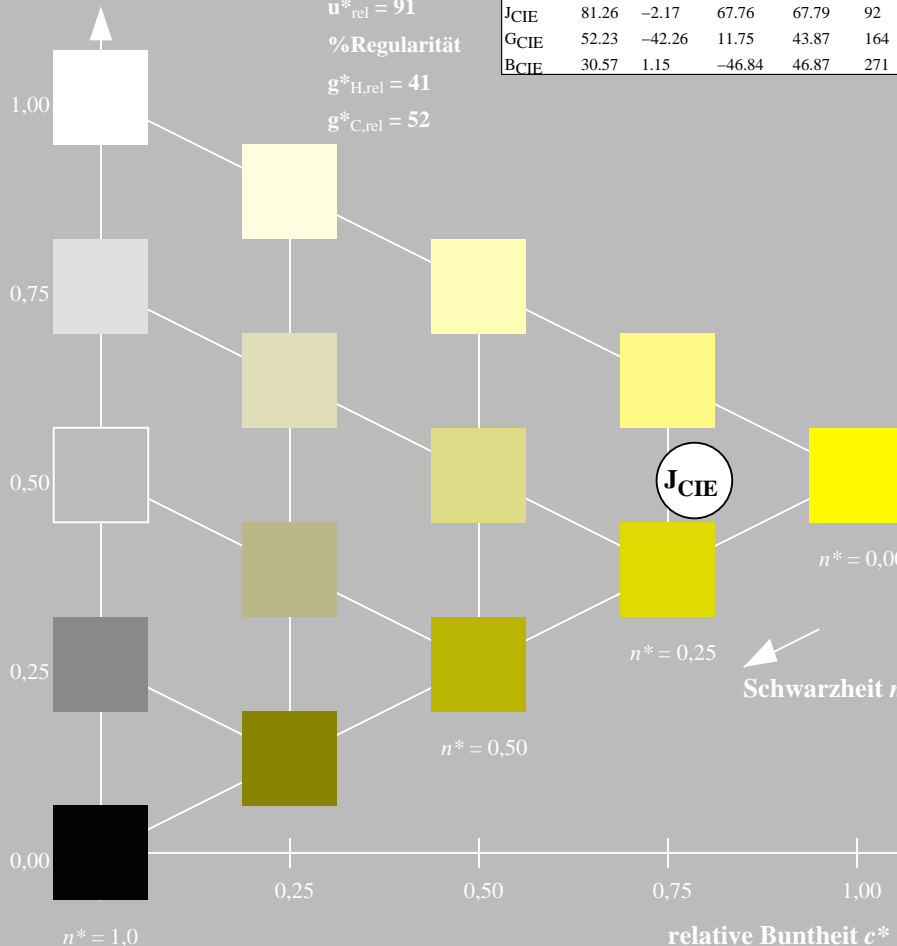
D65: Buntton J
LCH*Ma: 89 86 92
rgb*Ma: 1.0 0.95 0.0



MRS18; adaptierte CIELAB-Daten					
	$L^*=L^*_a$	a^*_a	b^*_a	$C^*_{ab,a}$	$h^*_{ab,a}$
RMa	49.63	66.96	38.37	77.18	30
JMa	90.7	-6.36	88.75	88.98	94
GMa	52.11	-69.73	9.44	70.37	172
G50BMa	45.03	-36.57	-28.47	46.36	218
BMa	36.65	23.19	-63.05	67.18	290
B50RMa	34.94	57.17	-44.26	72.31	322
NMa	18.01	0.0	0.0	0.0	0
WMa	95.41	0.0	0.0	0.0	0
RCIE	39.92	58.66	26.98	64.56	25
JCIE	81.26	-2.17	67.76	67.79	92
GCIE	52.23	-42.26	11.75	43.87	164
BCIE	30.57	1.15	-46.84	46.87	271

Dreiecks-Helligkeit t^*

%Umfang
 $u^*_{rel} = 91$
%Regularität
 $g^*_{H,rel} = 41$
 $g^*_{C,rel} = 52$

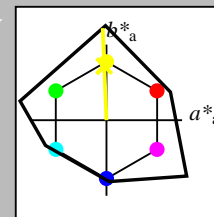


TG230-7, 5 stufige Reihen für konstanten CIELAB Buntton $92/360 = 0.255$ (links)

Ausgabe: Farbmimetrisches Reflexions-System NCS11

für Buntton $h^* = lab^*h = 92/360 = 0.256$
 LAB^*LCH , LAB^*NCH

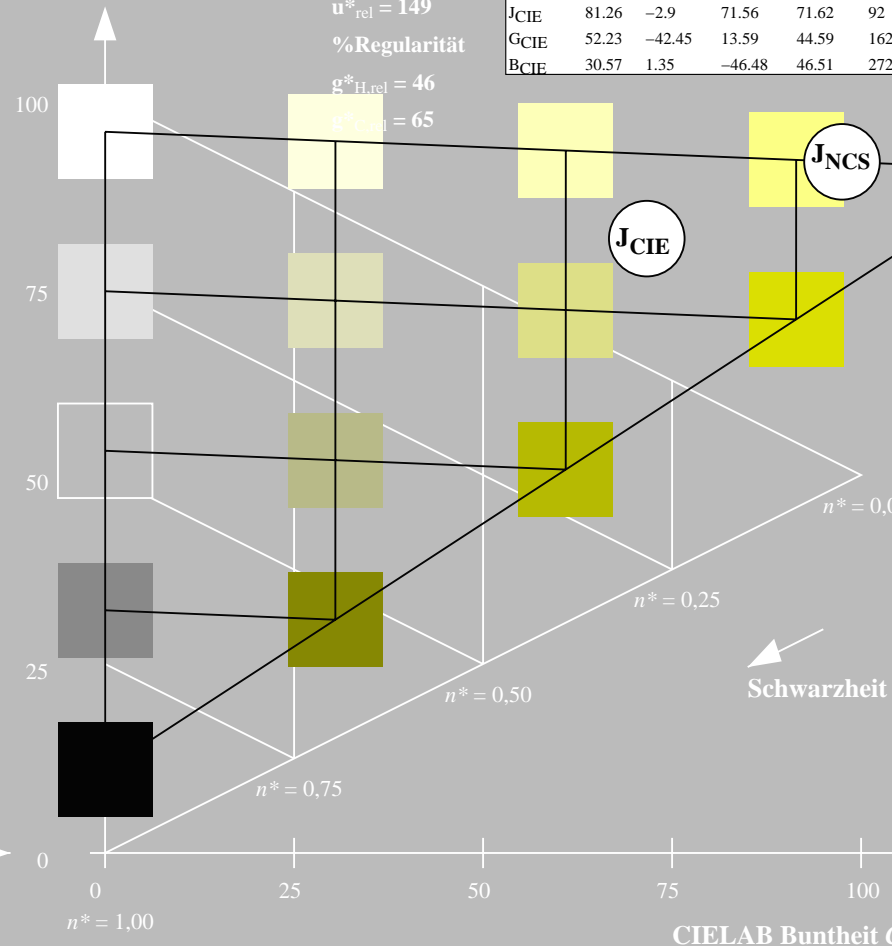
D65: Buntton J
LCH*Ma: 90 122 92
rgb*Ma: 0.97 1.0 0.0



NCS11; adaptierte CIELAB-Daten					
	$L^*=L^*_a$	a^*_a	b^*_a	$C^*_{ab,a}$	$h^*_{ab,a}$
RMa	47.15	84.64	37.25	92.48	24
JMa	91.37	-1.27	125.03	125.03	91
GMa	63.07	-114.28	25.35	117.06	167
G50BMa	59.47	-80.6	-33.45	87.28	203
BMa	49.01	3.65	-81.19	81.28	273
B50RMa	44.06	106.09	-73.93	129.32	325
NMa	10.99	0.0	0.0	0.0	0
WMa	95.41	0.0	0.0	0.0	0
RCIE	39.92	58.69	27.98	65.01	25
JCIE	81.26	-2.9	71.56	71.62	92
GCIE	52.23	-42.45	13.59	44.59	162
BCIE	30.57	1.35	-46.48	46.51	272

CIELAB-Helligkeit L^*

%Umfang
 $u^*_{rel} = 149$
%Regularität
 $g^*_{H,rel} = 46$
 $g^*_{C,rel} = 65$

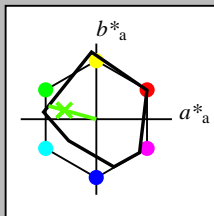


5 stufige Reihen für konstanten CIELAB Buntton $92/360 = 0.256$ (rechts)

Eingabe: Farbmimetrisches Reflexions-System MRS18

für Buntton $h^* = lab^*h = 164/360 = 0.457$
 lab^*tch und lab^*nch

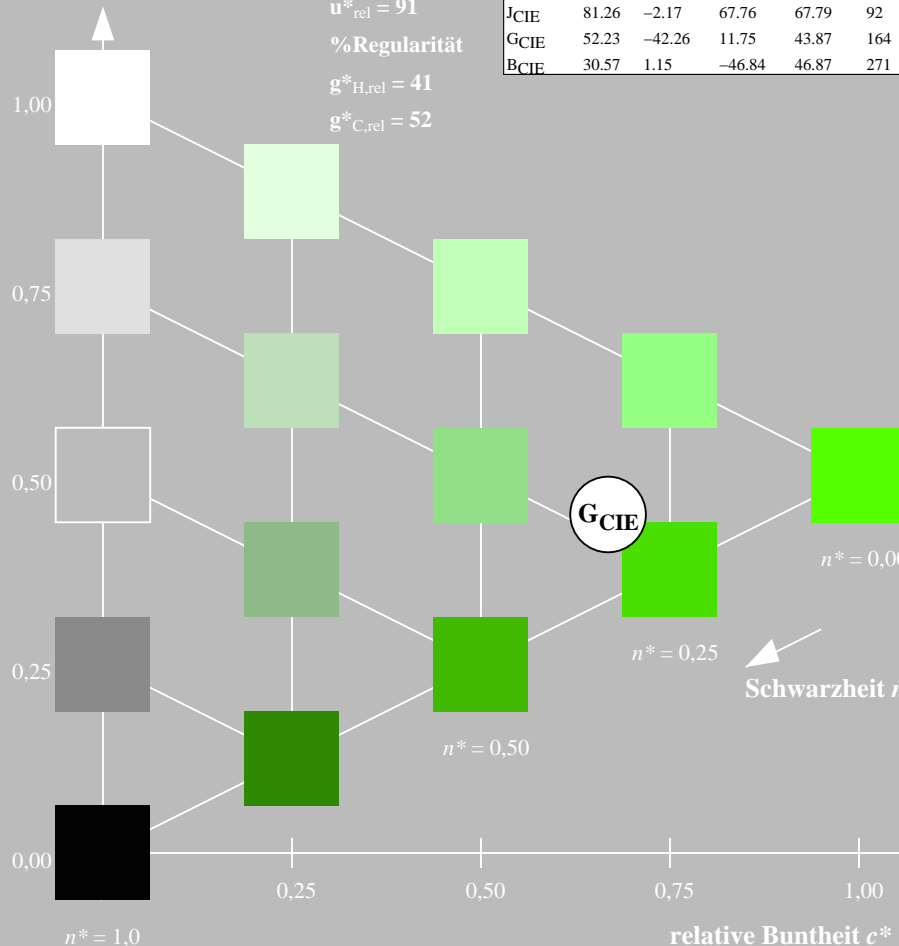
D65: Buntton G
LCH*Ma: 56 66 164
rgb*Ma: 0.1 1.0 0.0



MRS18; adaptierte CIELAB-Daten					
	$L^*=L^*_a$	a^*_a	b^*_a	$C^*_{ab,a}$	$h^*_{ab,a}$
RMa	49.63	66.96	38.37	77.18	30
JMa	90.7	-6.36	88.75	88.98	94
GMa	52.11	-69.73	9.44	70.37	172
G50BMa	45.03	-36.57	-28.47	46.36	218
BMa	36.65	23.19	-63.05	67.18	290
B50RMa	34.94	57.17	-44.26	72.31	322
NMa	18.01	0.0	0.0	0.0	0
WMa	95.41	0.0	0.0	0.0	0
RCIE	39.92	58.66	26.98	64.56	25
JCIE	81.26	-2.17	67.76	67.79	92
GCIE	52.23	-42.26	11.75	43.87	164
BCIE	30.57	1.15	-46.84	46.87	271

Dreiecks-Helligkeit t^*

%Umfang
 $u^*_{rel} = 91$
%Regularität
 $g^*_{H,rel} = 41$
 $g^*_{C,rel} = 52$

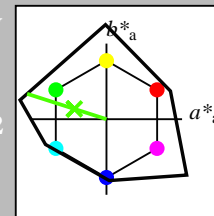


TG230-7, 5 stufige Reihen für konstanten CIELAB Buntton 164/360 = 0.457 (links)

Ausgabe: Farbmimetrisches Reflexions-System NCS11

für Buntton $h^* = lab^*h = 162/360 = 0.451$
 LAB^*LCH , LAB^*NCH

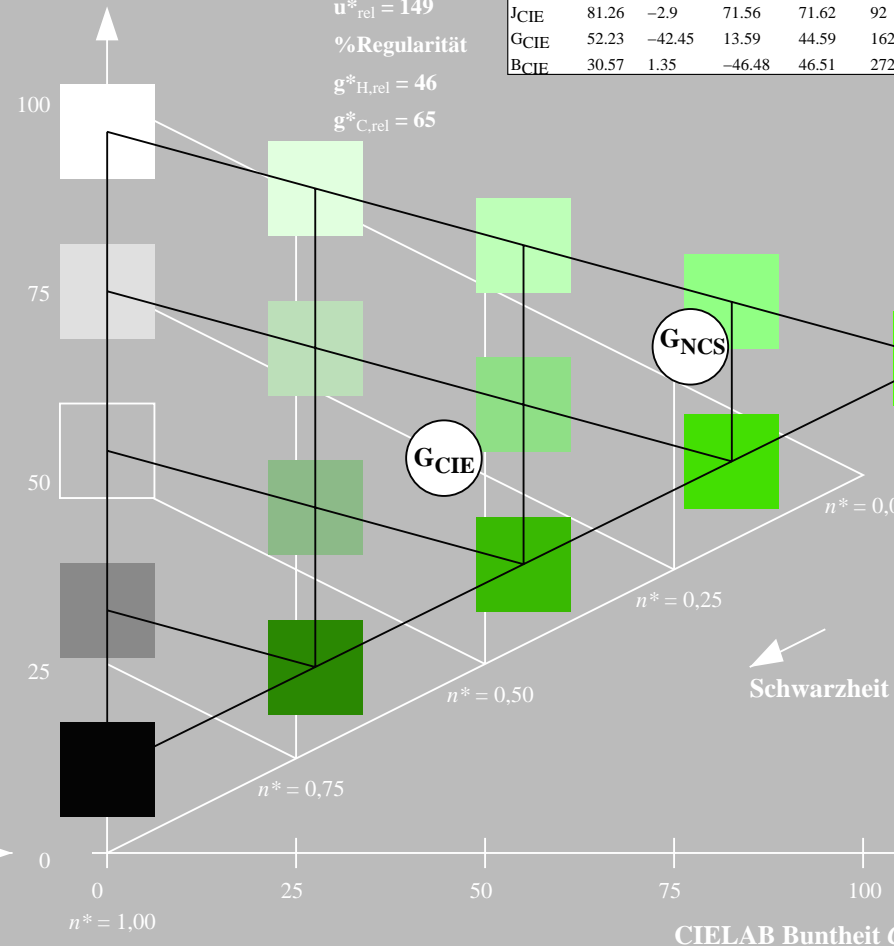
D65: Buntton G
LCH*Ma: 65 110 162
rgb*Ma: 0.08 1.0 0.0



NCS11; adaptierte CIELAB-Daten					
	$L^*=L^*_a$	a^*_a	b^*_a	$C^*_{ab,a}$	$h^*_{ab,a}$
RMa	47.15	84.64	37.25	92.48	24
JMa	91.37	-1.27	125.03	125.03	91
GMa	63.07	-114.28	25.35	117.06	167
G50BMa	59.47	-80.6	-33.45	87.28	203
BMa	49.01	3.65	-81.19	81.28	273
B50RMa	44.06	106.09	-73.93	129.32	325
NMa	10.99	0.0	0.0	0.0	0
WMa	95.41	0.0	0.0	0.0	0
RCIE	39.92	58.69	27.98	65.01	25
JCIE	81.26	-2.9	71.56	71.62	92
GCIE	52.23	-42.45	13.59	44.59	162
BCIE	30.57	1.35	-46.48	46.51	272

CIELAB-Helligkeit L^*

%Umfang
 $u^*_{rel} = 149$
%Regularität
 $g^*_{H,rel} = 46$
 $g^*_{C,rel} = 65$

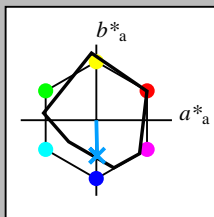


5 stufige Reihen für konstanten CIELAB Buntton 162/360 = 0.451 (rechts)

Eingabe: Farbmétrisches Reflexions-System MRS18

für Buntton $h^* = lab \cdot h = 271/360 = 0,754$
 $lab \cdot tch$ und $lab \cdot nch$

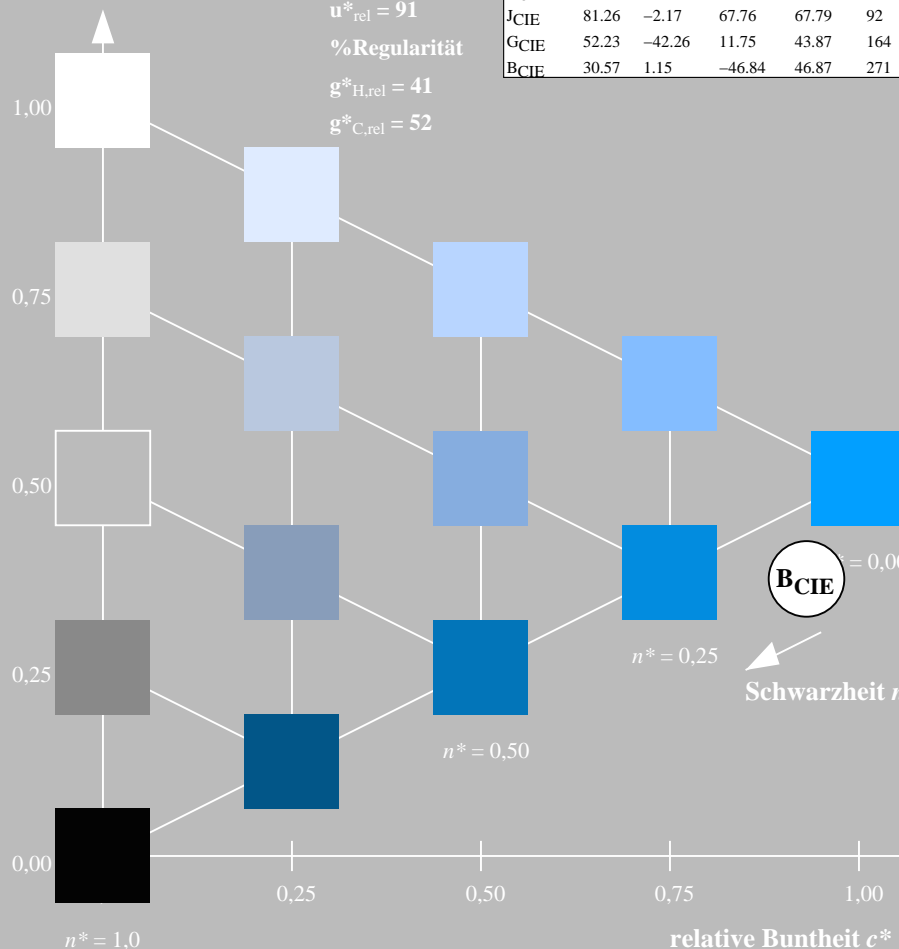
D65: Buntton B
LCH*Ma: 40 50 271
rgb*Ma: 0.0 0.37 1.0



MRS18; adaptierte CIELAB-Daten					
	$L^*=L^*_a$	a^*_a	b^*_a	$C^*_{ab,a}$	$h^*_{ab,a}$
RMa	49.63	66.96	38.37	77.18	30
JMa	90.7	-6.36	88.75	88.98	94
GMa	52.11	-69.73	9.44	70.37	172
G50BMa	45.03	-36.57	-28.47	46.36	218
BMa	36.65	23.19	-63.05	67.18	290
B50RMa	34.94	57.17	-44.26	72.31	322
NMa	18.01	0.0	0.0	0.0	0
WMa	95.41	0.0	0.0	0.0	0
RCIE	39.92	58.66	26.98	64.56	25
JCIE	81.26	-2.17	67.76	67.79	92
GCIE	52.23	-42.26	11.75	43.87	164
BCIE	30.57	1.15	-46.84	46.87	271

Dreiecks-Helligkeit t^*

%Umfang
 $u^*_{rel} = 91$
%Regularität
 $g^*_{H,rel} = 41$
 $g^*_{C,rel} = 52$

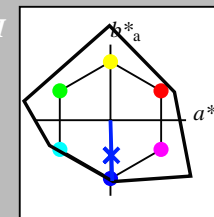


TG230-7, 5 stufige Reihen für konstanten CIELAB Buntton 271/360 = 0.754 (links)

Ausgabe: Farbmétrisches Reflexions-System NCS11

für Buntton $h^* = lab \cdot h = 272/360 = 0,755$
 $LAB \cdot LCH$, $LAB \cdot NCH$

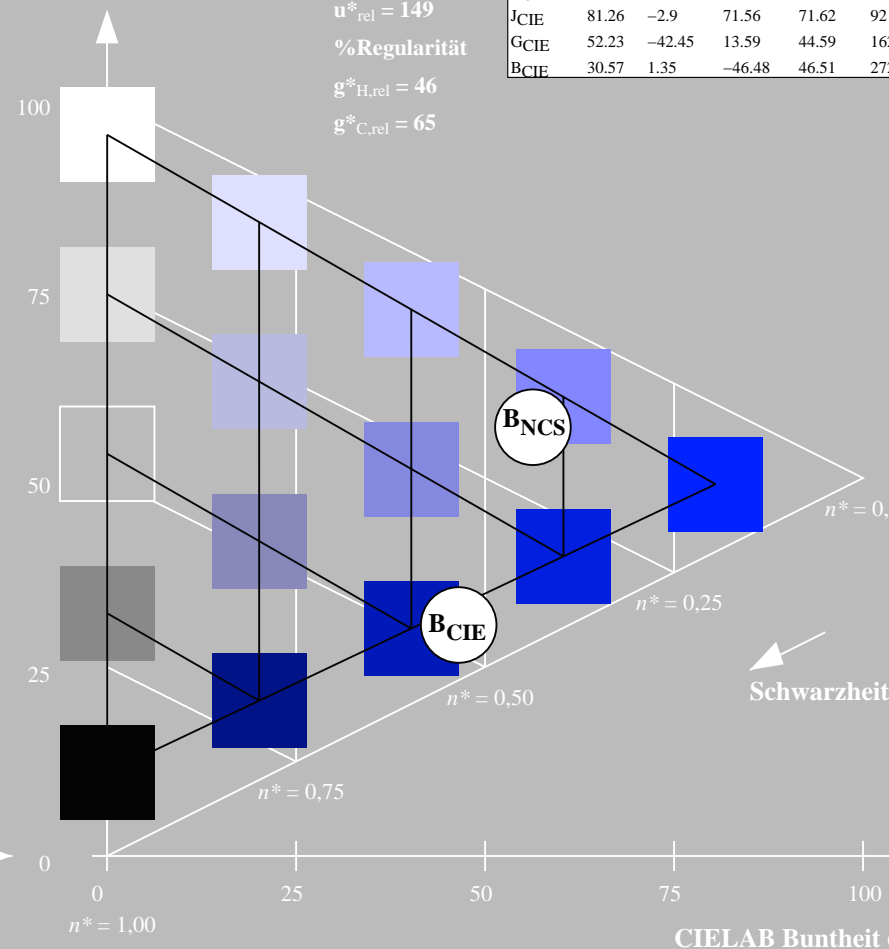
D65: Buntton B
LCH*Ma: 49 80 272
rgb*Ma: 0.0 0.02 1.0



NCS11; adaptierte CIELAB-Daten					
	$L^*=L^*_a$	a^*_a	b^*_a	$C^*_{ab,a}$	$h^*_{ab,a}$
RMa	47.15	84.64	37.25	92.48	24
JMa	91.37	-1.27	125.03	125.03	91
GMa	63.07	-114.28	25.35	117.06	167
G50BMa	59.47	-80.6	-33.45	87.28	203
BMa	49.01	3.65	-81.19	81.28	273
B50RMa	44.06	106.09	-73.93	129.32	325
NMa	10.99	0.0	0.0	0.0	0
WMa	95.41	0.0	0.0	0.0	0
RCIE	39.92	58.69	27.98	65.01	25
JCIE	81.26	-2.9	71.56	71.62	92
GCIE	52.23	-42.45	13.59	44.59	162
BCIE	30.57	1.35	-46.48	46.51	272

CIELAB-Helligkeit L^*

%Umfang
 $u^*_{rel} = 149$
%Regularität
 $g^*_{H,rel} = 46$
 $g^*_{C,rel} = 65$



5 stufige Reihen für konstanten CIELAB Buntton 272/360 = 0.755 (rechts)